

С.В. Балакин, А.М. Гуськов

## ЧИСЛЕННЫЙ АНАЛИЗ ПАРАМЕТРИЧЕСКОГО ПОДДЕРЖАНИЯ ВИБРАЦИЙ ИНСТРУМЕНТА ДЛЯ ГЛУБОКОГО СВЕРЛЕНИЯ

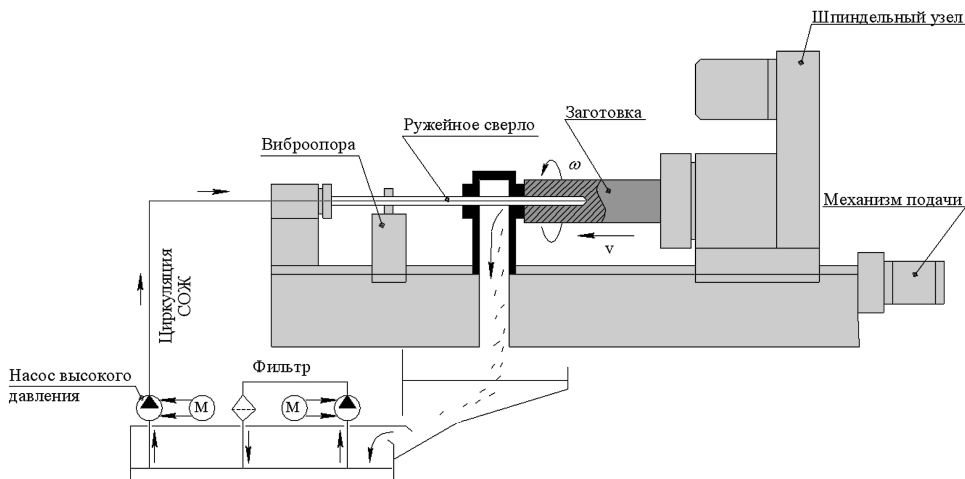
*Предложена математическая модель, предназначенная для анализа вибрационного сверления глубоких отверстий ружейными сверлами с управляемой промежуточной опорой. Показана принципиальная возможность поддержания режима резания с сегментной стружкой с помощью рассматриваемой схемы сверления. Указаны технологические и конструкционные параметры, при которых возможна реализация режимов прерывистого сверления.*

**E-mail:** gouskov\_am@mail.ru

**Ключевые слова:** глубокое сверление, вибросверление, динамическая устойчивость, нелинейная динамика, уравнения образования новых поверхностей.

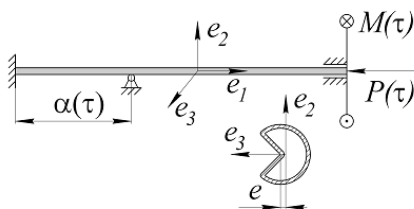
Получение глубоких точных отверстий является сложной технологической задачей [1—4]. Основная проблема при сверлении ружейными сверлами — образование непрерывной, так называемой сливной стружки. При наложении на существующую технологическую схему сверления осевых вибраций можно добиться того, что стружка будет сегментированной [1, 2]. Поскольку стержень инструмента ружейного сверла представляет собой длинный и гибкий стержень, то в процессе сверления неизбежны поперечные вибрации, которые, в свою очередь, вызывают осевые колебания конца стержня. Прерывистого стружкообразования можно добиться путем синхронизации автоколебаний стебля сверла, вызванных эффектом регенерации при резании, с дополнительными вибрациями промежуточной опоры. Для этого соответствующим образом должны быть подобраны параметры системы — технологические и жесткостные. При этом на первое место выходят вопросы построения адекватной математической модели, чему и посвящена данная работа.

На рис. 1 изображена принципиальная схема сверления. Заготовка закреплена в патроне и вращается с угловой скоростью  $\omega$ . Подача заготовки в осевом направлении с линейной скоростью  $v$  осуществляется с помощью механизма подачи. Ружейное сверло закреплено в патроне и остается неподвижным. Промежуточная опора может совершать осевые колебания при использовании одного из специальных виброустройств — гидравлического, механического, электромагнитного или пьезоэлектрического. Для отвода стружки из зоны резания предусмотрена циркуляционная система подачи смазочно-



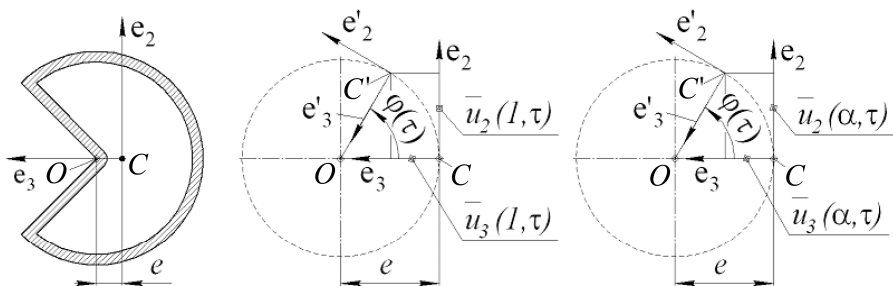
**Рис. 1. Общая схема сверления**

охлаждающей жидкости (СОЖ). С помощью насоса высокого давления СОЖ подают через внутренний канал ружейного сверла в зону резания, затем вместе с удаляемой стружкой СОЖ поступает в систему фильтрации, после которой очищенная СОЖ вновь оказывается в емкости перед насосом высокого давления. Расчетная схема рассматриваемой механической системы показана на рис. 2. Левый конец стержня жестко закреплен. Промежуточная опора — шарнирная. Условия крепления на правом торце стержня представляют собой плавающую заделку. На правый конец стержня действуют переменные осевая сила и крутящий момент.



**Рис. 2. Расчетная схема и поперечное сечение инструмента**

Вследствие того, что центр вращения  $O$  (рис. 3) не совпадает с положением оси стержня (геометрическим центром поперечного сечения  $C$ ), т. е. имеет место эксцентриситет  $e$ , граничные условия на правом торце и в промежуточной опоре оказываются нестационарными. При закручивании стержня на угол  $\varphi$  моментом  $M$  точка оси стержня перемещается на величины  $u_2$  и  $u_3$  в направлении связанных координатных осей  $e_2$  и  $e_3$  соответственно, в результате чего стержень изгибается.



**Рис. 3. Нестационарные граничные условия на правом торце**

Таким образом, граничные условия задачи имеют вид при  $\zeta = 0$

$$\tilde{u}_i(0, \tau) = 0, \quad \tilde{u}'_i(0, \tau) = 0; \quad (1)$$

при  $\zeta = 1$

$$\tilde{u}_2(1, \tau) = \tilde{e} \sin \frac{\tilde{M}(\tau) \times 1}{\chi}, \quad \tilde{u}_3(1, \tau) = \tilde{e} \left( 1 - \cos \frac{\tilde{M}(\tau) \times 1}{\chi} \right); \quad (2)$$

при  $\zeta = \alpha$

$$\tilde{u}_2(\alpha, \tau) = \tilde{e} \sin \frac{\tilde{M}(\tau) \alpha}{\chi}, \quad \tilde{u}_3(\alpha, \tau) = \tilde{e} \left( 1 - \cos \frac{\tilde{M}(\tau) \alpha}{\chi} \right), \quad (3)$$

где  $\tilde{e}$  — безразмерный эксцентриситет сечения;  $\chi$  — отношение крутильной и максимальной изгибной жесткости поперечного сечения стержня.

Данная задача может быть сформулирована в виде системы дифференциальных уравнений в частных производных, описывающих малые параметрические колебания стержня. Однако решение этой системы уравнений сопряжено с рядом трудностей, поскольку данная краевая задача является многоточечной. Кроме граничных условий на левом и правом концах стержня должны быть выполнены условия равенства нулю перемещений в точке стержня, находящейся под промежуточной опорой в текущий момент времени. Метод Галеркина для сведения задачи к системе обыкновенных дифференциальных уравнений в данном случае неэффективен, поскольку на каждом шаге интегрирования конечномерной системы необходимо пересчитывать координатные функции с учетом изменившегося положения опоры, а следовательно, повторять всю процедуру метода.

В работе [5] параметрические колебания стержня с подвижной промежуточной опорой исследованы с помощью системы интегральных уравнений Фредгольма II рода, которые в нашем случае могут быть записаны в виде

$$\begin{aligned} \frac{1}{\Omega^2}(\tilde{u}_2(\tau, \zeta) + \tilde{u}_2^*(\tau, \zeta)) &= -\int_0^1 \hat{G}_2(\zeta, \xi, \alpha) (\ddot{u}_2(\tau, \xi) + \ddot{u}_2^*(\tau, \xi)) d\xi + \\ &+ \delta^2 \int_0^1 \frac{\partial^2 \hat{G}_2(\zeta, \xi, \alpha)}{\partial \xi^2} \ddot{u}_2(\tau, \xi) d\xi - \delta^2 \int_0^1 \hat{G}_2(\zeta, \xi, \alpha) (\ddot{u}_2^*)''(\tau, \xi) d\xi - \\ &- \frac{1}{\Omega^2} \tilde{P}(\tau) \int_0^1 \frac{\partial^2 \hat{G}_2(\zeta, \xi, \alpha)}{\partial \xi^2} \tilde{u}_2(\tau, \xi) d\xi - \frac{1}{\Omega^2} \tilde{P}(\tau) \int_0^1 \hat{G}_2(\zeta, \xi, \alpha) (\tilde{u}_2^*)''(\tau, \xi) d\xi - \\ &- \frac{1}{\Omega^2} \tilde{M}(\tau) \int_0^1 \frac{\partial^2 \hat{G}_2(\zeta, \xi, \alpha)}{\partial \xi^2} \tilde{u}_3'(\tau, \xi) d\xi - \frac{1}{\Omega^2} \tilde{M}(\tau) \int_0^1 \hat{G}_2(\zeta, \xi, \alpha) (\tilde{u}_3^*)'''(\tau, \xi) d\xi; \end{aligned} \quad (4)$$

$$\begin{aligned} \beta \frac{1}{\Omega^2}(\tilde{u}_3(\tau, \zeta) + \tilde{u}_3^*(\tau, \zeta)) &= -\int_0^1 \hat{G}_3(\zeta, \xi, \alpha) (\ddot{u}_3(\tau, \xi) + \ddot{u}_3^*(\tau, \xi)) d\xi + \\ &+ \beta \delta^2 \int_0^1 \frac{\partial^2 \hat{G}_3(\zeta, \xi, \alpha)}{\partial \xi^2} \ddot{u}_3(\tau, \xi) d\xi - \beta \delta^2 \int_0^1 \hat{G}_3(\zeta, \xi, \alpha) (\ddot{u}_3^*)''(\tau, \xi) d\xi - \\ &- \frac{1}{\Omega^2} \tilde{P}(\tau) \int_0^1 \frac{\partial^2 \hat{G}_3(\zeta, \xi, \alpha)}{\partial \xi^2} \tilde{u}_3(\tau, \xi) d\xi - \frac{1}{\Omega^2} \tilde{P}(\tau) \int_0^1 \hat{G}_3(\zeta, \xi, \alpha) (\tilde{u}_3^*)''(\tau, \xi) d\xi - \\ &- \frac{1}{\Omega^2} \tilde{M}(\tau) \int_0^1 \frac{\partial^2 \hat{G}_3(\zeta, \xi, \alpha)}{\partial \xi^2} \tilde{u}_2'(\tau, \xi) d\xi - \frac{1}{\Omega^2} \tilde{M}(\tau) \int_0^1 \hat{G}_3(\zeta, \xi, \alpha) (\tilde{u}_2^*)'''(\tau, \xi) d\xi, \end{aligned}$$

где  $\tilde{u}_i$  — безразмерные прогибы;  $\tilde{u}_i^*$  — функции, удовлетворяющие неоднородным граничным условиям на правом торце и в промежуточной опоре;  $\delta$  — параметр, характеризующий отношение величины прогибов к длине стержня;  $\beta$  — отношение изгибных жесткостей поперечного сечения стержня;  $\Omega$  — безразмерная частота;

$$\hat{G}_2(\zeta, \xi, \alpha) = G(\zeta, \xi) - \frac{G(\zeta, \alpha)}{\tilde{G}_2(\alpha, \alpha)} G(\alpha, \xi);$$

$$\hat{G}_3(\zeta, \xi, \alpha) = G(\zeta, \xi) - \frac{G(\zeta, \alpha)}{\tilde{G}_3(\alpha, \alpha)} G(\alpha, \xi);$$

$$\tilde{G}_2(\alpha, \alpha) = G(\alpha, \alpha) + \gamma G(1/2, 1/2);$$

$$\tilde{G}_3(\alpha, \alpha) = G(\alpha, \alpha) + \beta \gamma G(1/2, 1/2); \quad 0 < \gamma \leq 1.$$

Функция Грина [5] имеет вид

$$G(x, \tilde{x}) = H(x - \tilde{x}) \frac{(x - \tilde{x})^3}{3!} + \left[ 2(1 - \tilde{x})^3 - 3(1 - \tilde{x})^2 \right] \frac{x^3}{3!} + \left[ (1 - \tilde{x})^2 - (1 - \tilde{x})^3 \right] \frac{x^2}{2!},$$

где  $H(x - \tilde{x})$  — функция Хевисайда.

Заменяя интегралы конечными суммами, уравнения (4) можно привести к конечномерной системе обыкновенных дифференциальных уравнений:

$$[M(\tau)] \ddot{\bar{q}}(\tau) + \frac{1}{\Omega^2} [C(\tau)] \bar{q}(\tau) = \frac{1}{\Omega^2} [B(\tau)]. \quad (5)$$

В отличие от формулировки краевой задачи в виде дифференциальных уравнений, где граничные условия учитываются при построении координатных функций, в эквивалентной формулировке в виде интегральных уравнений граничные условия уже содержатся в самих уравнениях.

Функции  $P(t)$  и  $M(t)$  неизвестны и могут быть вычислены, если систему (5) дополнить уравнениями образования новых поверхностей с запаздыванием [6—8]:

$$\begin{aligned} \Delta(\tau) &= \tilde{u}_1(\tau) - \tilde{H} + \nu \tilde{s}_0 \tau - \Lambda(\tau - T); \\ \eta(\tau) &= \max[0; \Delta(\tau)]; \\ \Lambda(\tau) &= \Lambda(\tau - T) + \eta(\tau); \\ \Lambda(\tau) &= \Lambda_0(\tau), \quad \tau \leq 0, \end{aligned} \quad (6)$$

где  $\tilde{H}$  — расстояние от правого торца инструмента до средней поверхности торца детали в начальный момент времени;  $\nu$  — частота вращения детали;  $\tilde{s}_0$  — скорость подачи заготовки;  $\Lambda_0$  — отклонение поверхности торца заготовки под режущей кромкой в начальный момент времени;  $\Lambda$  — глубина отверстия под режущей кромкой;  $\tilde{u}_1(\tau) = -\frac{\delta}{2} \int_0^1 (\partial \tilde{u}_\Sigma(\tau, \zeta) / \partial \zeta)^2 d\zeta$  — осевое перемещение правого торца стержня;  $\eta$  — толщина срезаемого слоя материала. Зная величину  $\eta$ , можно определить  $P(t)$  и  $M(t)$  по дробно-рациональному закону резания [9]:

$$P(\tau) = k_{c0} h_* \frac{\eta(\tau)/h_* + r(\eta(\tau)/h_*)^2}{1 + \eta(\tau)/h_*}; \quad (7)$$

$$M(\tau) = e_* K_T P(\tau), \quad (8)$$

где  $k_{c0}$ ,  $h_*$ ,  $r$  — константы аппроксимации экспериментально определяемой зависимости силы резания от толщины срезаемого слоя;  $e_*$  — эксцентриситет расположения равнодействующей сил резания от оси сверла;  $K_T$  — коэффициент, зависящий от формы режущей кромки сверла. Данный закон подходит для описания нестационарных процессов входа и выхода режущих кромок инструмента, поскольку оно удовлетворяет условию конечности жесткости процесса резания при  $\eta \rightarrow 0$ .

Уравнение крутильных колебаний запишем в предположении, что демпфирование в системе достаточно велико и инерционным слагаемым в уравнении можно пренебречь. Эта гипотеза справедлива, когда в реальной системе не наблюдаются интенсивные крутильные колебания стебля инструмента. С учетом сказанного выше запишем уравнение крутильных колебаний в безразмерном виде:

$$\zeta \Omega \frac{d\varphi}{d\tau} + \chi \frac{d\varphi}{d\tau} = \tilde{M}(\tau), \quad (9)$$

где  $\zeta$  — безразмерный коэффициент демпфирования.

Поскольку стержень может совершать крутильные колебания, то запаздывание  $T = T(\tau)$  зависит от времени, т. е. является переменным. Для того чтобы исключить переменное запаздывание, перейдем от времени  $t$  к абсолютному углу поворота  $\psi(t) = \omega_0 t + \varphi(t)$ , или в безразмерном виде  $\psi(\tau) = 2\pi\nu\tau + \varphi(\tau)$ , тогда уравнение крутильных колебаний принимает вид

$$\frac{d\varphi}{d\psi} = \frac{\tilde{M}(\tau) - \chi\varphi}{2\pi\nu\zeta\Omega + \tilde{M} - \chi\varphi}. \quad (10)$$

Зависимость  $\tau(\psi)$  определяем согласно уравнению

$$\frac{d\tau}{d\psi} = \frac{\zeta\Omega}{2\pi\nu\zeta\Omega + \tilde{M} - \chi\varphi}. \quad (11)$$

Система дифференциально-алгебраических уравнений (5, 6, 8–10) описывает динамику вибрационного сверления с подвижной промежуточной опорой. Система может быть проинтегрирована модифицированным методом Эйлера с итерационным уточнением на каждом шаге интегрирования [10].

Для того чтобы процесс резания при сверлении был прерывистым, согласно [1] должно выполняться условие

$$u_1 \geq \frac{s_0}{2}. \quad (12)$$

Очевидно, что при сверлении при подачах, находящихся в диапазоне значений  $0,01 \leq s_0 \leq 0,5$  мм/об, условие (11) будет выполняться только при колебаниях стебля сверла со значительными прогибами. Этих прогибов можем достичь, если подберем технологические и жесткостные параметры системы таким образом, что она окажется в зоне параметрического резонанса в системе параметров  $(\omega_v, A_0)$ , где  $\omega_v$  и  $A_0$  — частота и амплитуда колебаний промежуточной опоры соответственно. Для того чтобы на одном обороте заготовки укладывалось нецелое число колебаний режущей кромки и сдвиг фаз был максимален, необходимо выполнение равенства

$$\omega_v = 1,5\omega_0,$$

где  $\omega_v$  — частота колебаний промежуточной опоры;  $\omega_0$  — частота вращения заготовки. Для удовлетворения условию нахождения в зоне параметрического резонанса можно выбрать длину стебля сверла так, чтобы при осевой силе, вычисляемой в случае использования дробно-рационального закона резания по формуле

$$P_0 = P = k_{c0} h_* \frac{s_0/h_* + r(s_0/h_*)^2}{1 + s_0/h_*},$$

выполнялось равенство

$$\omega_v = 2p_1,$$

где  $p_1$  — первая собственная частота колебаний стержня.

Главная зона параметрического резонанса вблизи удвоенной первой собственной частоты колебаний стебля сверла (рис. 4) получена численным исследованием однородной части линейной системы дифференциальных уравнений с переменными коэффициентами (5) на плоскости параметров  $(A_0, \Omega)$  согласно теории Флоке — Ляпунова [11—13]. Точка на рис. 4 соответствует положению системы в начальный момент непрерывного сверления.

Эволюция толщины срезаемого слоя, полученной при численном интегрировании системы уравнений (5, 6, 9—11) изображена на рис. 5. Несмотря на то что система первоначально находится в зоне параметрического резонанса, наблюдается стабилизация движения системы ввиду появления сильного нелинейного воздействия со стороны сил резания, поскольку толщина снимаемого слоя становится нелинейной кусочно-непрерывной функцией времени (см. рис. 5), и условия параметрического резонанса нарушаются.

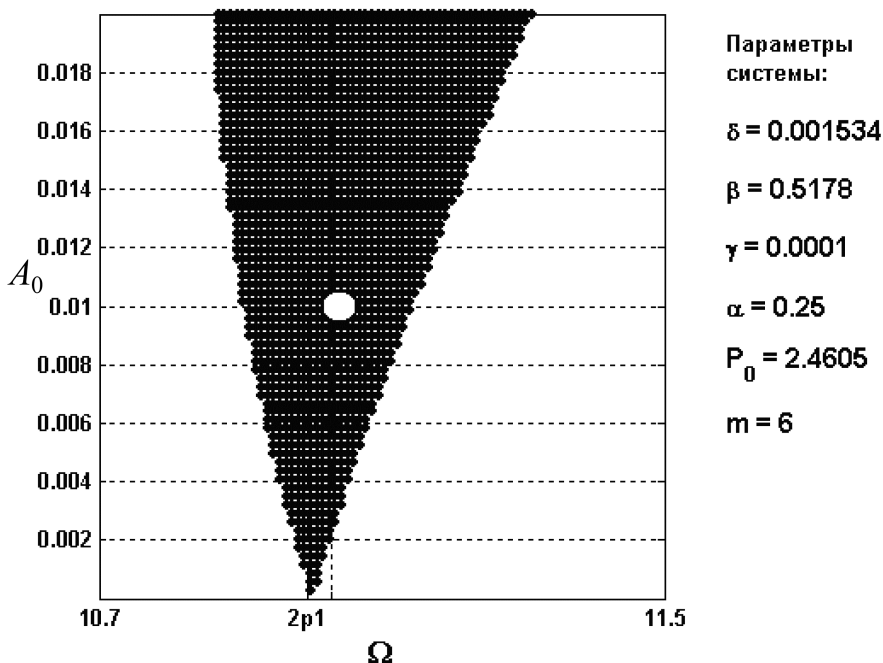


Рис. 4. Положение системы в области главного параметрического резонанса

На рис. 5 можно выделить три характерные зоны процесса сверления: I — зона непрерывного резания; II — переходная зона, в которой режим прерывистого резания перемежается с непрерывным образованием стружки; III — зона установившегося прерывистого резания.

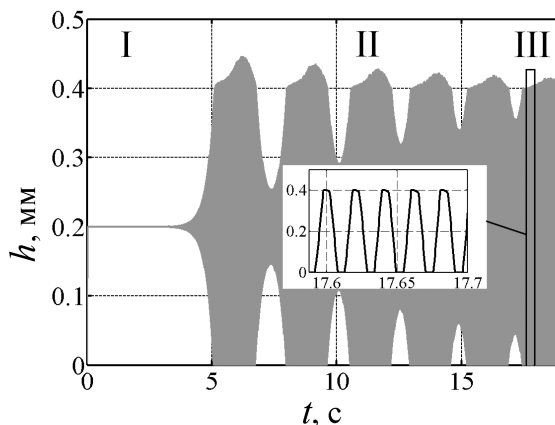
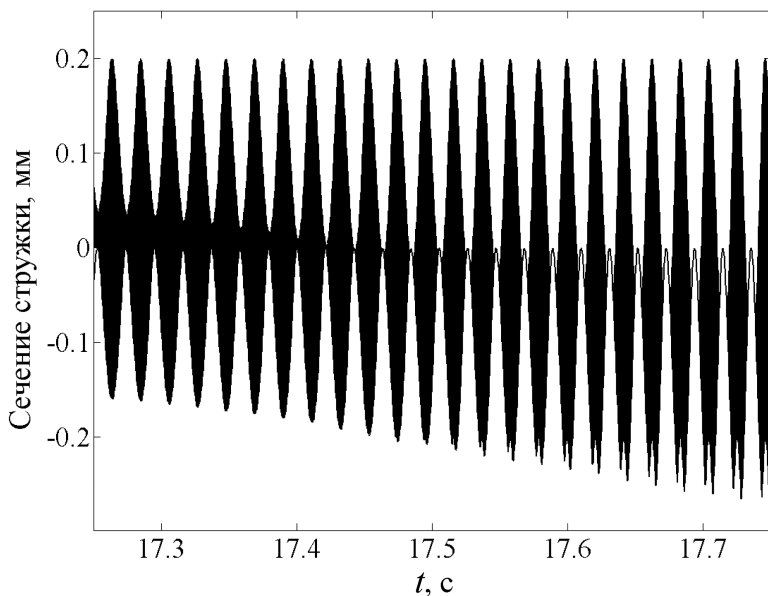


Рис. 5. Эволюция толщины срезаемого слоя во времени

На рис. 6 показано изменение во времени поперечного сечения стружки в момент, когда процесс сверления переходит в режим пре-



рывистого резания. Отметим, что на практике для получения дробленой стружки достаточно резкого уменьшения толщины снимаемого слоя материала, поскольку долом стружки может происходить за счет сил, действующих со стороны СОЖ.



**Рис. 6. Изменение поперечного сечения стружки во времени**

В данной работе построена математическая модель динамики вибрационного сверления с подвижной промежуточной опорой. Показана возможность реализации режимов резания с сегментированной стружкой. Сформулированы условия, при которых эти режимы реализуются.

*Работа выполнена при поддержке грантов РФФИ 07-08-00253-а, 07-08-00592-а и гранта CRDF HO-018.*

## СПИСОК ЛИТЕРАТУРЫ

1. Подураев В.Н. Обработка резанием с вибрациями. – М.: Машиностроение, 1970. – 350 с.
2. Троицкий Н.Д. Глубокое сверление. – Л.: Машиностроение, 1971. – 176 с.
3. Ахметшин Н.И., Гоц Э.М., Родиков Н.Ф. Вибрационное резание металлов. – Л.: Машиностроение, 1987. – 80 с.
4. Подураев В.Н. Автоматически регулируемые и комбинированные процессы резания. – М.: Машиностроение, 1977. – 303 с.
5. Parametric maintenance and control of vibration while deep hole drilling / A.M. Gousov, G.Y. Panovko, S.A. Voronov, S.C. Sinha // Proc. of Inte.

- Conf. on Smart Machining Systems. NIST, Gaithersburg, USA. – March 13–15, 2007.
6. Гуськов А.М. Нелинейная динамика вибрационного сверления: Роль уравнений образования новых поверхностей // Тр. симп. CSDT–2000. – М: СТАНКИН, 2000. – С. 93–101.
  7. Гуськов А.М., Воронов С.А., Квашнин А.С. Влияние крутильных колебаний на процесс вибросверления // Вестник МГТУ им. Н.Э. Баумана. Сер. Машиностроение. – 2007. – №. 1. – С. 3–19.
  8. Воронов С.А., Гуськов А.М. Исследование нелинейных пространственных колебаний инструмента для глубокого сверления // Проблемы прикладной механики, динамики и прочности: сб. статей / под ред. В.А. Светлицкого, О.С. Нарайкина. – М.: Изд-во МГТУ им. Н.Э. Баумана, 2005. – С. 90–113.
  9. Paris H., Brissaud D., Gouskov A. A more realistic cutting force model at uncut chip thickness close to zero // CIRP Annals. Manufacturing Technology. – 2007. – Vol. 56, no. 1. – P. 415–418.
  10. Турчак Л.И. Численные методы. – М.: Наука, 1987. – 456 с.
  11. Якубович В.А., Старжинский В.М. Параметрический резонанс в линейных системах. – М.: Наука, 1987. – 328 с.
  12. Арнольд В.И. Математические методы классической механики: учеб. пособие. – М.: Едиториал УРСС, 2003. – 416 с.
  13. Методы качественной теории в нелинейной динамике: ч. 1 / Л.П. Шильников, А.Л. Шильников, Д.В. Тураев, Л. Чуа. – Москва; Ижевск: Институт компьютерных исследований, 2004. – 416 с.

Статья поступила в редакцию 28.09.2012